

А К А Д Е М И Я Н А У К С С С Р  
СИБИРСКОЕ ОТДЕЛЕНИЕ  
А В Т О М Е Т Р И Я

№ 5

1980

КРАТКИЕ СООБЩЕНИЯ

УДК 537.224.33

И. Б. ТРОФИМОВ

(Москва)

О МЕХАНИЗМЕ ВОЗНИКНОВЕНИЯ ДВУЛУЧПРЕЛОМЛЕНИЯ  
В ПОЛИКРИСТАЛЛИЧЕСКОМ ТВЕРДОМ РАСТВОРЕ  
СИСТЕМЫ ЦТСЛ  
В РЕЖИМЕ ПРОДОЛЬНОГО ЭЛЕКТРООПТИЧЕСКОГО ЭФФЕКТА

**Введение.** В настоящее время наиболее глубоко исследован и широко применен поперечный электрооптический эффект (ЭОЭ) или эффект управляемого двулучепреломления в сегнетоэлектрическом поликристаллическом твердом растворе системы ЦТСЛ X/Y/Z\* [1—5]. По сравнению с поперечным электрооптическим эффектом применение твердого раствора ЦТСЛ в режиме продольного электрооптического эффекта приводит практически к полному использованию поверхности рабочего материала, сокращению на порядок управляющего напряжения и возможности получения любых конфигураций электродных структур активируемого элемента.

В связи с этим группой авторов, в том числе и автором настоящей работы [6—8], впервые были проведены исследования управляемого двулучепреломления в незажатых образцах поликристаллического твердого раствора системы ЦТСЛ в режиме продольного электрооптического эффекта.

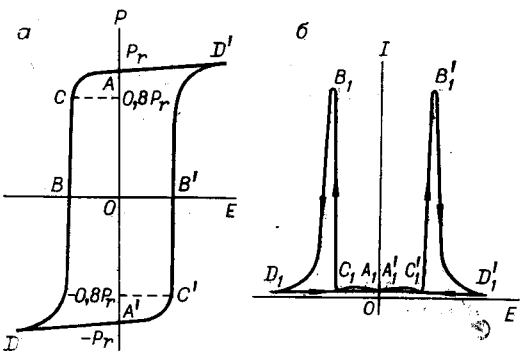
**Методика эксперимента.** Привилегией мелкозернистых сегнетоэлектрических твердых растворов является эффект управляемого двулучепреломления [9]. Для крупнозернистых материалов характерен эффект управляемого рассеяния света.

Объект исследования настоящей работы — прозрачный поликристаллический мелкозернистый твердый раствор типа ЦТСЛ 8/65/35. Материал приготовлен методом горячего прессования в Институте физики РНДГУ под руководством Е. Г. Фесенко. Полученный твердый раствор обладает хорошими пьезо свойствами (коэффициент electromechanicalской связи  $k_p = 0,65$ , пьезомодуль  $d_{31} = 215 \cdot 10^{-12}$  Кл/Н).

В исследовании использовались термически деполяризованные (ТД) образцы, которые предварительно переводились в электрически поляризованное состояние (ЭП). Образцы имели форму дисков диаметром 15 мм и толщиной 200 мкм. Клиновидность образцов находилась в пределах 30 мкм. На противоположные поверхности дисков были нанесены прозрачные электроды на основе пленки  $In_2O_3 - SnO_2$ . Исследования проводились поляризационно-оптическим методом при комнатной температуре на частотах 0,05 Гц и ниже. Во время эксперимента образцы находились в незажатом состоянии. В качестве источника света использовались либо Не-Не-лазер с длиной волны  $\lambda = 632,8$  нм, либо галогенная лампа накаливания. Экспериментальная установка позволяла закорачивать электроды исследуемых образцов. Регистрация данных проводилась с помощью фотоумножителя и двухкоординатных самопишущих потенциометров. Вид и степень поляризации света на выходе исследуемого образца определялись по методике, описанной в книге [10].

**Результаты эксперимента.** Если образец находится в ЭП-состоянии (точки A, A' и A<sub>1</sub>, A'<sub>1</sub>'), то на выходе поляризационно-оптической системы светопропускание отсутствует (см. рисунок). Поворот исследуемого образца вокруг направления луча в плоскости, перпендикулярной этому направлению, не приводит к изменению уровня интенсивности. Введение пластинки  $\lambda/4$  между образцом и анализатором также не дает изменения величины интенсивности на выходе системы. Переход образца из ЭП-состояния в ЭД (электрически деполяризованное)-состояние сопровождается резким скачкообразным изменением интенсивности пропускания под действием

\* В зарубежной литературе PLZT X/Y/Z, где буквы слева направо обозначают Pb, La, Zr, Ti, X — содержание La в ат. %, Y — содержание Pb<sub>2</sub>ZrO<sub>3</sub>, Z — содержание PbTiO<sub>3</sub> в % соответственно.



Зависимости поляризации и интенсивности индуцированного светопропускания от напряженности электрического поля:  
 а — зависимость  $P(E)$ ,  
 б — зависимость  $I(E)$ .

электрического поля (участки  $CB$ ,  $C'B'$  и  $C_1B_1$ ,  $C'_1B'_1$ ). Переполяризация образца из положения в точке  $A$  в положение в точке  $C$ , а также из  $A'$  в  $C'$  согласуется с участками  $A_1C_1$  и  $A'_1C'_1$  на кривой  $I(E)$  и практически не приводит к изменению интенсивности. При достижении уровня поляризации  $P \approx 0.8P_r$  в точке  $C$  (или  $C'$ ) изменение интенсивности происходит скачкообразно (участки  $C_1B_1$  и  $C'_1B'_1$ ). В точках  $B_1$  и  $B'_1$  интенсивность достигает своего максимального значения. С изменением знака поляризации интенсивность сначала резко падает, но затем несколько медленнее убывает (участки  $B_1D_1$  и  $B'_1D'_1$  кривой  $I(E)$ ). Возвращение образца в состояние с  $P = -|P_r|$  фактически не сопровождается изменением интенсивности (участки  $D_1A_1$  и  $D'_1A'_1$ ).

**Обсуждение результатов экспериментов.** В ЭП-состоянии в образце твердого раствора ЦТСЛ 8/65/35 большая часть доменов из числа возможных ориентаций располагается в направлениях, ближайших к направлению поляризующего поля. При этом результатирующий вектор поляризации  $P$  направлен параллельно вектору напряженности поля  $E$ . Это преимущественное направление принимается за направление интегральной оптической оси в исследуемом образце. Для ромбоэдрического твердого раствора ЦТСЛ 8/65/35 интегральная оптическая индикаторика представляет собой эллипсоид вращения, круговое сечение которого лежит в плоскости, перпендикулярной оптической оси. Поэтому в ЭП-состоянии при распространении световой волны вдоль интегральной оптической оси образца двулучепреломление не наблюдается.

В образце, находящемся в ЭП-состоянии, наряду с крупными доменами, ориентированными по полю, всегда имеется некоторое количество зажатых между пими мелких доменов, ориентированных в соответствии с ромбоэдрической модификацией состава ЦТСЛ 8/65/35 под углами 180, 71 и 109° по отношению к выбранному направлению [11]. Оптические характеристики 180-градусных доменов однапаковы. Поэтому наибольший интерес представляют 71- и 109-градусные домены. Поскольку размер и количество зажатых доменов весьма малы, то ощутимого вклада в создание оптической анизотропии в продольном направлении они не вносят (точки  $A_1$ ,  $A'_1$ ).

При переходе образца из ЭП в ЭД-состояние вектор внешнего электрического поля  $E$  направлен встречно вектору поляризации  $P$ . В этом случае в силу обратного пьезоэффекта, с одной стороны, в образце возникают деформации сжатия по толщине и радиальная деформация растяжения [12], с другой — одновременно происходит разориентация крупных ориентированных по полю доменов и рост мелких 71- и 109-градусных прежде зажатых доменов за счет первых [13]. По мере увеличения напряженности поля процессы деформации и разориентации происходят более интенсивно. Начиная с уровня  $|P| \approx 0.8P_r$  (в точках  $C$  и  $C'$ ), эти процессы происходят лавинообразно, а их взаимодействие приводят к резкому увеличению двулучепреломления. Последнее может иметь место в случае индуцирования односторонней преимущественной 90-градусной (по отношению к свету) ориентации доменов в процессе переполяризации твердого раствора.

По нашему мнению, одним из наиболее вероятных факторов, приводящих к возникновению преимущественной односторонней 90-градусной ориентации доменов, является наличие градиента напряженности поля в одном из направлений, перпендикулярных лучу света. Градиент напряженности, по-видимому, может возникнуть, например, в случае клиновидности образца. При монотонном увеличении напряжения, подаваемого на образец, в направлении клина происходит поперечное (по отношению к свету) движение фронта напряженности поля переключения и вместе с тем рост радиальной деформации в одном из направлений, перпендикулярных лучу света. Это можно интерпретировать как возникновение односторонней 90-градусной составляющей напряженности электрического поля и соответству-

щего ей 90-градусного вектора поляризации. Таким образом, в процессе переполяризации образца создается поперечная составляющая ориентации ранее зажатых в ЭП-состоянии доменов, приводящая к возникновению двулучепреломления. Величина поперечной поляризации достигает максимума при  $P=0$ . При деполяризации образца от  $|P| \approx 0,8 P_r$  до  $P=0$  интенсивность изменяется скачком (участки  $C_1B_1$  и  $C'_1B'_1$ ), что обусловлено резким увеличением двулучепреломления, принимающего максимальное значение при  $P=0$ . Как видно из рисунка, изменение интенсивности носит пороговый характер.

С изменением знака поляризации векторы поля  $E$  и поляризации  $P$  становятся согласно ориентированными. Знак деформаций меняется на противоположный, а процессы разориентации сменяются процессами противоположной ориентации доменов. Эффективное двулучепреломление начинает убывать, и соответственно падает интенсивность (участки  $B_1D_1$  и  $B'_1D'_1$ ).

## Выводы

1. Доказано и качественно объяснено возникновение индуцированного двулучепреломления в мелкозернистом поликристаллическом растворе ЦТСЛ 8/65/35 в режиме продольного электрооптического эффекта.

2. Изменение интенсивности индуцированного пропускания носит пороговый характер, что обусловлено скачкообразным изменением индуцированного двулучепреломления.

3. Двулучепреломление в образце, по-видимому, обусловлено возникновением поперечной составляющей поляризации под действием обратного пьезоэффекта в образце с переменной толщиной. Это может иметь место, например, при клиновидности образца, в котором происходит движение фронта напряженности электрического поля перпендикулярно лучу света.

Автор приносит искреннюю благодарность Л. А. Шувалову, К. И. Брицыну за ценные указания при просмотре рукописи и Б. В. Ульянову за критические замечания при обсуждении основных моментов настоящей работы, а также Е. Г. Фесенко за любезно предоставленные образцы твердого раствора.

## ЛИТЕРАТУРА

1. Thacher P. D., Land C. E. Ceramics Electrooptic Properties and Devices.— WESCON Technical Papers, 1971, Session 31/2, p. 1—11.
2. Land C. E. Recent Development in Electrooptic Ceramics.— Int. J. Nonl. Test., 1970, vol. 1, p. 315.
3. Landry M. J., Mc Carthy A. E. Transmission Switching Characteristics of PLZT Shutters.— Appl. Optics, 1973, vol. 12, N 10, p. 2312.
4. Клотинш Э. Э., Круминь А. Э., Ауза В. Я. и др. Распределение электрического поля в электрооптическом модуляторе света с планарными электродами.— Ученые записки ЛГУ им. П. Стучки. Электрооптическая сегнетокерамика. Рига, 1975, т. 230, с. 247—277.
5. Cuttchen J. T., Harris J. O., Laguna G. R. PLZT Electrooptic Shutters: Applications.— Appl. Optics, 1975, vol. 14, N 8, p. 1866.
6. Трофимов И. Б., Харitonov В. С. Индуцированное светопропускание в прозрачной керамике при продольном электрооптическом эффекте.— В кн.: Новые пьезо- и сегнетоматериалы и их применение. М.: изд. МДНТИ, 1975, с. 16.
7. Брицын К. И., Токарева Н. В., Трофимов И. Б. и др. Пороговый продольный электрооптический эффект памяти в керамике ЦТСЛ.— Электрооптическая техника. Сер. Материалы, 1977, вып. 3, с. 86.
8. Брицын К. И., Трофимов И. Б., Токарева Н. В., Фесенко Е. Г. Некоторые аспекты применения порогового продольного электрооптического эффекта памяти в керамике ЦТСЛ.— В кн.: Электрооптическая сегнетокерамика. Рига: изд. ЛГУ им. П. Стучки, 1977, с. 208.
9. Land C. E., Thacher P. D. Ferroelectric Ceramic Electrooptics Materials and Devices.— Proc. IEEE, 1969, vol. 57, N 5, p. 751.
10. Дитчберн Р. Физическая оптика. М.: Мир, 1965.
11. Шувалов Л. А. Диэлектрические и пьезоэлектрические свойства поляризованной керамики  $\text{BaTiO}_3$  в разных сегнетоэлектрических фазах.— Кристаллография, 1957, т. 2, вып. 1, с. 119.
12. Кэди У. Пьезоэлектричество и его практическое применение. М.: ИЛ, 1949.
13. Land C. E., Thacher P. D., Haertling G. H. Electrooptic Ceramic.— Appl. Sol. St. Sci., 1974, vol. 4, p. 137—233.

Поступило в редакцию 28 марта 1979 г.;  
окончательный вариант — 24 июля 1979 г.